

ผลของสารเติมแต่งซิลิกา การปรับปรุงพิว และวิธีการเชื่อมโยงสายโซ่ที่มีต่อสมบัติเชิงกลของวัสดุ เชง  
ประกอบโพลิเอสเตอร์เรซินชนิดไม้อิ่มตัวกับสารเติมแต่งซิลิกา

**Effects of Silica based Fillers, Surface Treatment and Curing Method on Mechanical Properties  
of Silica/Unsaturated Polyester composites**

ณัฐพร ศรีโลย (Nattaporn Sriloy)<sup>\*</sup> พันท์พิพ คำนวนทิพย์ (Chuntip Kumnuantip)<sup>\*\*</sup>

จันทร์ฉาย ทองปืน (Chanchai Thongpin)<sup>\*\*\*</sup> เอกชัย วิมลมala (Ekachai Wimolmala)<sup>\*\*\*\*</sup>

ณรงค์ฤทธิ์ สมบัติสมภพ (Narongrit Sombatsompop)<sup>\*\*\*\*\*</sup>

### บทคัดย่อ

งานวิจัยนี้ศึกษาสมบัติของโพลิเอสเตอร์เรซินชนิดไม้อิ่มตัวที่มีการเติมถ้าล้อยหรือซิลิกาเป็นสารตัวเติม และผลของการปรับปรุงพิวถ้าล้อยหรือซิลิกาต่อสมบัติเชิงกล ที่ผ่านการเชื่อมโยงสายโซ่ด้วยความร้อนปกติ และคลื่นไมโครเวฟ พบว่า วัสดุเชิงประกลอนที่เติมถ้าล้อยหรือซิลิกาที่ผ่านการเชื่อมโยงสายโซ่ด้วยคลื่นไมโครเวฟ มีเวลาในการเชื่อมโยงสายโซ่ลดลงมากกว่าการเชื่อมโยงสายโซ่ด้วยความร้อนปกติ แสดงว่าคลื่นไมโครเวฟมีความเหมาะสมในการใช้เชื่อมโยงสายโซ่ของโพลิเมอร์ที่มีถ้าล้อยหรือซิลิกาเป็นสารตัวเติมมากกว่าการเชื่อมโยงสายโซ่ด้วยความร้อนปกติ วัสดุเชิงประกลอนที่เติมถ้าล้อยหรือซิลิกามีค่ามอดูลัสตัวคงอยู่ ค่าความหนาแน่นต่อการกระแทก และค่าความแข็งเพิ่มขึ้นตามปริมาณถ้าล้อยหรือซิลิกาที่เพิ่มขึ้น แต่ความหนาแน่นการโค้งงอลดลง สมบัติเชิงกลของเชิงประกลอนโพลิเอสเตอร์เรซินชนิดไม้อิ่มตัวที่เติมถ้าล้อยหรือซิลิกามีแนวโน้มการเปลี่ยนแปลงที่ดีขึ้น เมื่อทำการปรับปรุงพิวของถ้าล้อยหรือซิลิกา ด้วย 3-Glycidoxypoly thimethoxysilane (KBM403)

### ABSTRACT

This research studied the properties of unsaturated polyester (UPE) resin filled with fly ash (FASi) or silica (PSi), and silane treatment on the mechanical properties of cured by conventional (CV) thermal and microwave (MW) curing methods were assessed. Microwave curing appeared to lower the cure time in greater magnitude than those cured by CV curing, implying that the microwave was more suitable to cure polymers containing FASi or PSi fillers for the purpose of reducing cure time. The flexural modulus, impact strength, hardness increased with increasing filler content for FASi and PSi fillers. The presence of FASi or PSi filler in the UPE resulted in a sudden decrease in the flexural strength, although the strength was slightly improved as the FASi or PSi content was increased. The overall mechanical properties of the UPE composites were greatly improved though use of 3-Glycidoxypoly thimethoxysilane (KBM-403) as coupling agent on silica surfaces.

**คำสำคัญ :** ไมโครเวฟ ถ้าล้อย ซิลิกา

**Key Words :** Microwave, fly ash, silica

\*มหาบัณฑิต หลักสูตรวิศวกรรมศาสตร์มหาบัณฑิต สาขาวิชาเทคโนโลยีวัสดุ คณะพลังงานสิ่งแวดล้อมและวัสดุ มหาวิทยาลัยเทคโนโลยีพระจอมเกล้าชัชนาท

\*\*ผู้ช่วยศาสตราจารย์ สาขาวิชาปฏิกรณ์และวัสดุพอลิเมอร์ คณะวิศวกรรมศาสตร์และเทคโนโลยีอุตสาหกรรม มหาวิทยาลัยศิลปากร

\*\*\*ผู้ช่วยศาสตราจารย์ สาขาวิชาเทคโนโลยีวัสดุ คณะพลังงานสิ่งแวดล้อมและวัสดุ มหาวิทยาลัยเทคโนโลยีพระจอมเกล้าชัชนาท

\*\*\*\*ภาสตราราชรักษ์ สาขาวิชาเทคโนโลยีวัสดุ คณะพลังงานสิ่งแวดล้อมและวัสดุ มหาวิทยาลัยเทคโนโลยีพระจอมเกล้าชัชนาท

## บทนำ

กระบวนการผลิตวัสดุโดยใช้กลืนไนโตรเจฟเป็นเทคโนโลยีใหม่ที่มีประสิทธิภาพสูงสำหรับอุตสาหกรรมการผลิตวัสดุ และมีความแตกต่างจากการผลิตวัสดุด้วยวิธีอื่นๆ อีกทั้งยังเป็นเทคนิคที่ช่วยในการผลิตวัสดุบางชนิดที่ไม่สามารถผลิตได้โดยใช้การแผ่ความร้อนธรรมชาติ (radiant heating) เช่น เซรามิกส์ ที่ใช้ในอุตสาหกรรมเซมิคอนดักเตอร์เนื่องจากกลืนไนโตรเจฟช่วยลดความเสียหายของตัวแผ่นรอง (substrate) (ดาวเดือน, 2546) นอกจากนี้ การผลิตวัสดุโดยใช้ความร้อนจากกลืนไนโตรเจฟ ยังช่วยปรับปรุงและเพิ่มสมบัติของวัสดุให้ดีขึ้น เนื่องจากอุณหภูมิที่ได้จากกลืนไนโตรเจฟ เป็นเดียว กันทั้งหมด (uniformed temperature) คือ มีอุณหภูมิแบบเดียวกันตลอดทั้งชิ้นงาน การเชื่อมโดยสายโซ่ จึง มีความสม่ำเสมอกว่าการแผ่ความร้อนธรรมชาติ เพราะว่าการเชื่อมโดยสายโซ่ด้วยความร้อนปกติ อาศัยหลักการถ่ายเทหางความร้อนเข้าสู่ภายใน ไม่เลกุด การเชื่อมโดยสายโซ่จึงมีความสม่ำเสมออนึ่อย กว่าระบบกลืนไนโตรเจฟ (ชนวรรณะ, 2548; Zhou et al., 2003) หรือแตกต่างไปจากวัสดุที่ผลิตด้วยการใช้ความร้อนแบบอื่น ประโยชน์ที่ได้รับจากการผลิตวัสดุด้วยกลืนไนโตรเจฟมีหลายประการ ได้แก่ ทำให้ความร้อนเกิดขึ้นอย่างรวดเร็วในเนื้อวัสดุ และความร้อนเกิดขึ้นภายในอย่างสม่ำเสมอทั่วทั้งชิ้นวัสดุ เทคโนโลยีการใช้ไนโตรเจฟจึงเป็นวิธีที่ช่วยให้กระบวนการผลิตใช้เวลาสั้นกว่ากระบวนการผลิตโดยใช้ความร้อนวิธีอื่นๆ ทำให้ประหยัดเวลาและพลังงานที่ใช้ในกระบวนการผลิต ผลิตภัณฑ์ที่ได้มีลักษณะและคุณภาพที่ดีขึ้นและกลืนไนโตรเจฟสามารถนำมาประยุกต์ใช้ในอุตสาหกรรมการผลิตวัสดุที่หลากหลาย เช่น ใช้ในการปรุงอุ่นอบแห้ง และการทำพลาสเจอร์ไรเซ็น ในอุตสาหกรรมอาหาร และยา ใช้ในการอบแห้งและการเผาในอุตสาหกรรมเซรามิกซ์ ใช้ในการเร่งการแข็งด้วยของคอนกรีตใน

งานก่อสร้าง ใช้ในการ vulcanization ในอุตสาหกรรมยาง ใช้ในการบ่มสาร (curing) สำหรับอิพอกซีเรซิน (epoxy resin) เพื่อลดเวลาในการผลิตสำหรับอุตสาหกรรมโพลิเมอร์ (ดาวเดือน, 2546)

งานวิจัยนี้มีวัตถุประสงค์เพื่อศึกษาถึงสมบัติของโพลีอสเตอร์เรซินชนิดไม่อิ่มตัวที่มีการเติม เถ้าloyหรือซิลิกาที่ผ่านการเชื่อมโดยสายโซ่ ด้วยกลืนไนโตรเจฟและความร้อนปกติ และผลของการปรับปรุงพิวของถ้าloyและซิลิกาต่อสมบัติของโพลีอสเตอร์เรซินชนิดไม่อิ่มตัว ซึ่งในงานวิจัยนี้จะทำการศึกษาสมบัติของวัสดุเชิงประกลบเพื่อเปรียบเทียบประสิทธิภาพของการเชื่อมโดยสายโซ่ด้วยกลืนไนโตรเจฟและความร้อนปกติ เปรียบเทียบประสิทธิภาพของการเติมสารตัวเติมชนิดถ้าloyและซิลิกา และเปรียบเทียบประสิทธิภาพของการปรับปรุงพิวและไม่ปรับปรุงพิวของสารตัวเติม ซึ่งในปัจจุบันยังไม่มีงานวิจัยใดที่ศึกษาสมบัติของวัสดุเชิงประกลบระหว่างโพลีอสเตอร์เรซินชนิดไม่อิ่มตัวกับถ้าloyหรือซิลิกาโดยใช้กลืนไนโตรเจฟในการเชื่อมโดยสายโซ่

## อุปกรณ์และวิธีการวิจัย

### วัตถุถูกที่ใช้ในงานวิจัย

1. โพลีอสเตอร์เรซินชนิดไม่อิ่มตัว (unsaturated polyester (UPE) resin) ชื่อเกรดการค้า Polylite เกรด SMF – 811 ซึ่งเป็นชนิดที่ไม่มีการเติมสารกระตุ้นปฏิกิริยาของบริษัท สามา เคมิคัล อินดัสทรี จำกัด

2. ตัวเริ่มปฏิกิริยา (initiator) ชนิดเบนโซอิลเปอร์ออกไซด์ (benzoyl peroxide : BPO) ของบริษัท สามา เคมิคัล อินดัสทรี จำกัด

3. ถ้าloyที่ใช้ในงานวิจัยนี้เป็นถ้าloyที่เกิดจากกระบวนการเผาให้มีของถ่านหินลิกไนต์ จากโรงไฟฟ้าแม่มาะ จังหวัดลำปาง สำหรับงานวิจัยนี้ดำเนินการแยกขนาดของถ้าloyด้วยตะกรงร่อน

เบอร์ 325 ทำการคัดขนาดอนุภาคไม่เกิน 125 ไมครอน เถ้าโลยมีความหนาแน่น 2.65 กรัม/ลบ.ซม. จากบริษัท เก อีน อาร์ กรุ๊ป จำกัด โดยของคือประกอบทางเคมีของถ้าโลย แสดงดังในตารางที่ 1

4. ซิลิกาเกรดการค้านำมาใช้เปรียบเทียบกับสมบัติของซิลิกาที่ได้จากถ้าโลย ซึ่งในงานวิจัยนี้ใช้ซิลิกาแบบตกผลึก (precipitated) เกรด TOKUSIL 233 มีขนาดอนุภาคไม่เกิน 125 ไมครอน ค่า pH 6.8 และมีความหนาแน่น 0.232 กรัม/ลบ.ซม. จากบริษัท โอดุญาดา สยาม ซิลิกา จำกัด

5. สารคู่ควบไชเดน (aminosilane) ในงานวิจัยนี้ได้แก่ 3 - glycidoxypropyl trimethoxysilane  $[(C_2H_5O)_3-Si-(CH_2)_3-O-CH_2-(C_2H_5O)]$  มีชื่อทางการค้าว่า KBM403 ของบริษัท ชิน-เอ็ตสุ เกมิกอล จำกัด (ประเทศญี่ปุ่น) น้ำหนักโมเลกุลเฉลี่ยเท่ากัน 236.3 ในงานวิจัยนี้ทำการศึกษาความเข้มข้นของสารคู่ควบที่ 0.0, 0.5, 1.0 และ 1.5 %wt โดยน้ำหนักของซิลิกา การปรับปรุงผิวของถ้าโลยหรือซิลิกา

การปรับปรุงผิวถ้าโลยหรือซิลิกาด้วย KBM403 มีกระบวนการปรับปรุงผิวดังนี้

1. นำถ้าโลยหรือซิลิกาไปอบໄล่ความชื้นในตู้อบที่อุณหภูมิ 80°C เป็นเวลา 24 ชั่วโมง

2. เตรียมสารละลายน้ำดีไอօนในเชื้น (deionized water) จากนั้นทำการกรานสารละลายน้ำด้วยแท่งกรานแบบแม่เหล็ก (magnetic stirrer) เป็นเวลา 30 นาที

3. ทำการเติมถ้าโลยหรือซิลิกาลงไปในสารละลายน้ำดีจึงทำการกรานเป็นเวลา 15 นาที เมื่อถึงเวลานำถ้าโลยหรือซิลิกาที่ถูกปรับปรุงผิวไปอบที่อุณหภูมิ 100°C เป็นเวลา 24 ชั่วโมง

ตารางที่ 1 ส่วนประกอบทางเคมีของถ้าโลย

(Thongsang et al., 2007)

| Chemical compositions                             | Percentage (%) |
|---------------------------------------------------|----------------|
| Silicon dioxide (SiO <sub>2</sub> )               | 35.05          |
| Aluminium oxide (Al <sub>2</sub> O <sub>3</sub> ) | 20.14          |
| Iron oxide (Fe <sub>2</sub> O <sub>3</sub> )      | 9.13           |
| Calcium oxide (CaO)                               | 9.56           |
| Magnesium Oxide (MgO)                             | 2.28           |
| Sodium oxide (Na <sub>2</sub> O)                  | 1.18           |
| Potassium oxide (K <sub>2</sub> O)                | 1.91           |
| Sulphur dioxide (SO <sub>2</sub> )                | 1.39           |
| Others                                            | 19.36          |

### การผสมและขึ้นรูปชิ้นงานตัวอย่าง

ทำการเติมถ้าโลย (FASi) (ใช้ปริมาณของถ้าโลยที่คิดจากปริมาณซิลิกาที่มีในถ้าโลย 35.05% โดยไม่ได้แยกซิลิกาออกจากถ้าโลย) และซิลิกาเกรดการค้า (commercial precipitated silica; PSi) ลงในโพลีอีสต์เรชันที่ปริมาณต่างๆ ได้แก่ 5, 10, 15 และ 20 ส่วน (part per hundred , pph) ลงในโพลีอีสต์เรชันชนิดไม่มีมั่นคงตัว 100 ส่วน ที่มีการผสมตัวเริมปฏิกิริยา คือ เบนโซอิลเปอร์ออกไซด์ 2 ส่วน จากนั้นนำไปเชื่อมโดยสายไฟ ทั้งระบบความร้อนปกติ (conventional thermal curing; CV) และคลื่นไมโครเวฟ (microwave curing ; MW)

- ความร้อนปกติ เทของผสมที่กล่าวมาลงในแม่พิมพ์ที่ทำจากโลหะที่มีความกว้าง 130 มิลลิเมตร ยาว 130 มิลลิเมตร หนา 3.2 มิลลิเมตร จนเต็ม ในตู้อบความร้อนที่อุณหภูมิ 100°C โดยเวลาในการเชื่อมโดยสายไฟสามารถหาได้จากเทคนิค differential scanning calorimeter (DSC)

- คลื่นไมโครเวฟ เทของผสมที่กล่าวมาลงในแม่พิมพ์ที่ทำจากเทฟลอนที่มี ความกว้าง 80 มิลลิเมตร ยาว 80 มิลลิเมตร หนา 80 มิลลิเมตร จนเต็ม แล้วนำไปอบในตู้อบไมโครเวฟความถี่ 2.45 GHz รุ่นเครื่องคือ panasonic model NN – 235WF กำลังของคลื่น

ไม่โครเวฟ 80 วัตต์ สำหรับเวลาที่เหมาะสมในการเชื่อมโยงสายใช้ห้าด้วยเทคนิค differential scanning calorimeter (DSC)

#### วิธีการทดสอบ

การหาเวลาที่เหมาะสมในการเชื่อมโยงสายใช้ด้วยความร้อนปกติและคลื่นไมโครเวฟด้วยเทคนิค differential scanning calorimeter (DSC)

การหาเวลาในการเชื่อมโยงสายใช้ (cure time) สามารถทำได้ด้วยเทคนิค differential scanning calorimeter (DSC822°, Mettler Toledo, Switzerland) เพื่อหาเปอร์เซ็นต์การเชื่อมโยงสายใช้ (percentage cure) ของระบบความร้อนปกติและคลื่นไมโครเวฟ ของวัสดุเชิงประกลุบโพลีอีสเตอร์เรซินชนิดไม่มีอิมตัวกับถ่านอย่างหรือซิลิกา ทำการทดสอบโพลีอีสเตอร์เรซินชนิดไม่มีอิมตัว ด้วยเริ่มปฏิกริยาและถ่ายทอดให้ซิลิกาตามอัตราส่วนที่ศึกษา จากนั้นนำของผสมที่ได้ใส่ลงในจานอะลูมิเนียมให้มีน้ำหนัก  $3.0 \pm 0.2$  มิลลิกรัม เพื่อหาพัฒนาการความร้อนทั้งหมดของโพลีอีสเตอร์เรซินชนิดไม่มีอิมตัวที่ไม่ผ่านการเชื่อมโยงสายใช้ ทำการให้ความร้อนตั้งแต่  $25 - 200^{\circ}\text{C}$  ด้วยอัตราความร้อน  $10^{\circ}\text{C}/\text{min}$  นำของผสมตามอัตราส่วนต่างๆ มาผ่านการเชื่อมโยงสายใช้ที่อุณหภูมิ  $100^{\circ}\text{C}$  และคลื่นไมโครเวฟ หากพลังงานความร้อนที่ผ่านการเชื่อมโยงสายใช้ไปบางส่วนซึ่งพลังงานความร้อนนี้เป็นส่วนที่เหลือที่ทำให้เกิดการเชื่อมโยงสายใช้ย่างสมบูรณ์จากข้อมูลที่ได้สามารถหาเปอร์เซ็นต์การเชื่อมโยงสายใช้ (percentage cure) ของโพลีอีสเตอร์เรซินชนิดไม่มีอิมตัวและด้วยเริ่มปฏิกริยาได้ดังสมการที่ 1 (ขันวนรัตน, 2548)

$$\text{Percentage cure (\%)} = \frac{\Delta H_{\text{Rxn}} - \Delta H_r}{\Delta H_{\text{Rxn}}} \times 100 \quad (1)$$

เมื่อ  $\Delta H_{\text{Rxn}}$  คือ ปริมาณความร้อนของโพลีอีสเตอร์เรซินชนิดไม่มีอิมตัวที่ยังไม่ผ่านการเชื่อมโยงสายใช้

$\Delta H_r$  คือ ปริมาณความร้อนที่เหลือของโพลีอีสเตอร์เรซินชนิดไม่มีอิมตัวที่ผ่านการเชื่อมโยงสายใช้ไปบางส่วน ณ เวลาใดๆ

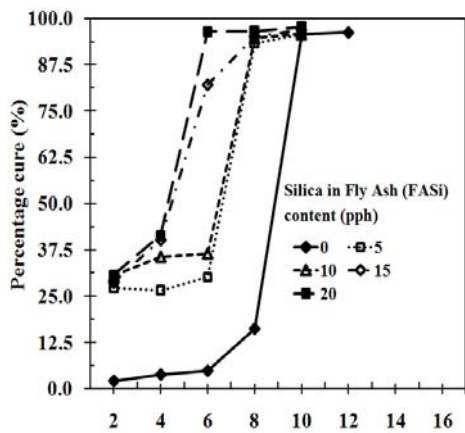
#### สมบัติเชิงกล

ทำการทดสอบความทนทานต่อการโก้งด้วยเครื่อง Autograph AG-1, Shimadzu (ประเทศไทย) ทำการทดสอบตามมาตรฐาน D790 (1999) โดยแรงกด 5 กิโลนิวตัน ความเร็วในการกด 1.3 มม./นาที ส่วนการทดสอบสมบัติความทนทานต่อการกระแทก ชนิด Izod ด้วยเครื่อง Yasuda Impact Tester รุ่น 258 ทำการทดสอบตามมาตรฐาน ASTM D256 (1997) และการทดสอบความแข็ง ด้วย Durometer Hardness Tester สเกล D ของบริษัท PTC instruments จำกัด ตามมาตรฐาน ASTM D2240 (1999)

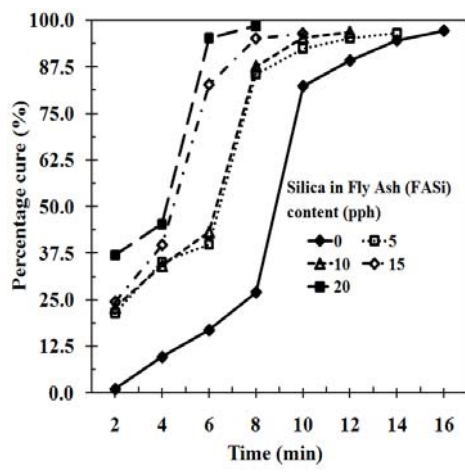
#### การตรวจสอบโครงสร้างจุลภาคด้วยกล้องจุลทรรศน์อิเล็กตรอนแบบส่องกล้อง

นำชิ้นงานที่ผ่านการเคลือบทองเหลวมาตรวจสอบโครงสร้างจุลภาคด้วยกล้องจุลทรรศน์อิเล็กตรอนแบบส่องกล้อง ของบริษัท JEOL รุ่น JSM – 5800 Scanning Electron Microscope ด้วยศักย์ไฟฟ้า 10 กิโลโวลต์

ผลการทดลองและการวิเคราะห์ผล



(a)



(b)

ภาพที่ 1 ความสัมพันธ์ระหว่างเปอร์เซ็นต์การเชื่อมโดยสารโดยใช้เวลาในการให้ความร้อนของโพลีอสเตอร์เรซินชนิดไม่อิ่มตัวที่มีการเติมถ่านหิน (FASi) (a) ระบบความร้อนปกติ : CV (b) ระบบลีนไมโครเวฟ : MW

ภาพที่ 1 แสดงความสัมพันธ์ของเปอร์เซ็นต์การเชื่อมโดยสารโดยใช้เวลาต่างๆ ของโพลีอสเตอร์เรซินชนิดไม่อิ่มตัวที่มีการเติมถ่านหิน ที่เกิดจากการเชื่อมโดยสารโดยใช้ด้วยความร้อนปกติ (1a) และคลื่นไมโครเวฟ (1b) สำหรับภาพที่ 1a โพลีอสเตอร์เรซินชนิดไม่อิ่มตัวที่ไม่เติมถ่านหิน

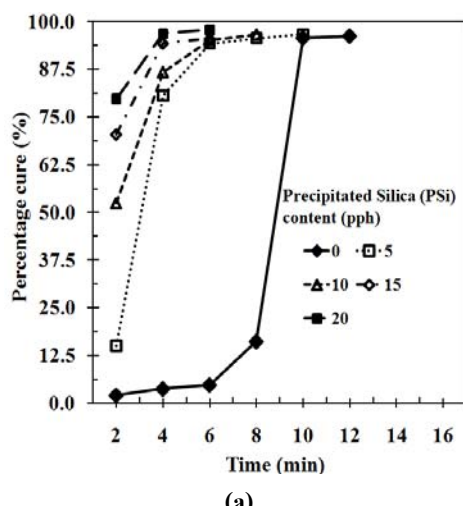
เห็นได้ในกราฟเป็น 3 ช่วง คือ ขั้นเริ่มต้น ขั้นแผ่ขยาย และขั้นสิ้นสุด เมื่อมีการเติมถ่านหินในปริมาณที่มากขึ้น มีผลให้เวลาที่ใช้ในขั้นเริ่มต้นลดลง และมีเปอร์เซ็นต์การเชื่อมโดยสารโดยใช้ไม่มากขึ้น เมื่อเทียบกับโพลีอสเตอร์เรซินชนิดไม่อิ่มตัวที่ไม่มีการเติมถ่านหิน โดยที่เวลาการเชื่อมโดยสารโดยใช้ (cure time) ลดลงสามารถอธิบายได้จากทฤษฎีของอาเรนเนียส (Arrhenius theory) ที่อ้างถึงค่าคงที่ปฏิกิริยา (reaction rate constant : k) ที่ขึ้นอยู่กับอุณหภูมิของปฏิกิริยา, ปัจจัยการชน (collision factors) และพลังงานกระตุ้น (activation energy : E<sub>a</sub>) (Margit et al., 2007) จากความสัมพันธ์นี้มีสมมุติฐานว่าเมื่อทำการเติมถ่านหินลงในโพลีอสเตอร์เรซินชนิดไม่อิ่มตัว การแพร่กระจายของรีแอคทีฟสเปซีส (reactive species) สำหรับปฏิกิริยาโพลีเมอไรเซชันถูกบัด仗 เนื่องจากอันตรกิริยาระหว่างสารตัวเดิมกับสารตัวเดิม (filler - filler interaction) แสดงให้เห็นว่า ถ่านหินเป็นสาเหตุของการเพิ่มขึ้นของการชนกันระหว่างรีแอคทีฟสเปซีส ในช่วงการเกิดปฏิกิริยาโพลีเมอไรเซชัน ดังนั้นจึงเกิดการเร่งปฏิกิริยาด้วยตัวเอง (auto-acceleration reaction) ของโพลีอสเตอร์เรซินชนิดไม่อิ่มตัวที่มีการเติมถ่านหิน (Margit et al., 2007) ในภาพที่ 1b พบว่า โพลีอสเตอร์เรซินชนิดไม่อิ่มตัวที่ไม่เติมถ่านหิน แสดงเส้นกราฟเป็น 2 ชั้น โดยมีขั้นแผ่ขยาย และขั้นสิ้นสุด เนื่องจากคลื่นไมโครเวฟเกิดกลไกที่เรียกว่า “กระบวนการโพลาไรเซชัน (polarization process)” (Bogdal, 1998) ทำให้เกิดการหมุนกลับตัวไปมาของโมเลกุลโพลีอสเตอร์เรซินชนิดไม่อิ่มตัวตามความถี่ของคลื่นไมโครเวฟ จึงเกิดการชนและเสียดสีของโมเลกุล โดยการชน การเสียดสีกัน ทำให้เกิดความร้อนขึ้นอย่างรวดเร็ว ซึ่งความร้อนที่เกิดขึ้นเป็นการเร่งให้เกิดการแตกตัวของรีแอคทีฟสเปซีสได้มากขึ้น ทำให้ไม่สามารถสังเกตเห็น ปฏิกิริยาขั้นเริ่มต้นได้ และเมื่อทำการเติมถ่านหินลงไป พบว่า เวลาในการเชื่อมโดยสารโดยใช้ลีนลดลงเมื่อเทียบกับโพลีอสเตอร์เรซินชนิดไม่อิ่มตัวที่ไม่เติมถ่านหิน เนื่องจากถ่านหิน

สามารถดูดกลืนกันในโครงสร้าง ทำให้เกิดการซึมกัน และเสียดสีกันระหว่างโมเลกุลของถ้าลอยด้วยกัน เองระหว่างเวลาอยู่กับโพลีอีสเทอร์เรซิน และระหว่างโพลีอีสเทอร์เรซินด้วยกันเอง ทำให้เกิดความร้อนขึ้นที่บริเวณการซึมและเสียดสีกัน คือ ที่บริเวณถ้าลอยกันถ้าลอย บริเวณโพลีอีสเทอร์เรซินชนิดไม่อ่อนตัวกับโพลีอีสเทอร์เรซินชนิดไม่อ่อนตัว และที่บริเวณโพลีอีสเทอร์เรซินชนิดไม่อ่อนตัวกับถ้าลอย โดยความร้อนที่เกิดขึ้นนี้ช่วยเร่งให้เกิดปฏิกิริยาการเชื่อมโดยสายโซ่ให้เกิดได้เร็วขึ้น (ชนวนรม, 2548; Rahmat et al., 2003)

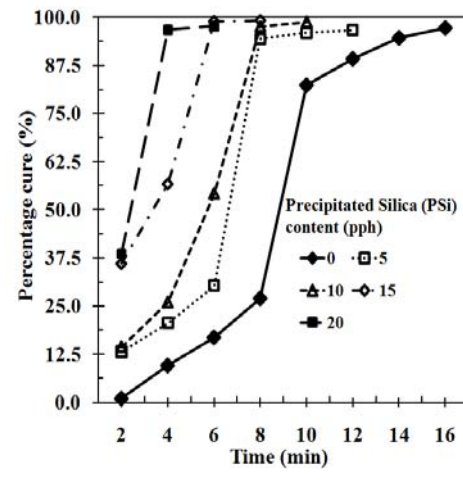
เมื่อทำการเปรียบเทียบระบบความร้อนปกติและคลื่นไมโครเวฟ พนว่าระบบความร้อนปกติสังเกตเห็นการเปลี่ยนแปลงในช่วงปฏิกิริยาขึ้นเรื่มต้นเนื่องจากความร้อนปกติเกิดจากการที่ความร้อนถ่ายเทจากแหล่งกำเนิดความร้อนภายนอก โดยความร้อนค่อยๆ ส่งผ่านจากผิวสัมผายนอกเข้าไปสู่ภายในเนื้อวัสดุอาศัยหลักการถ่ายเททางความร้อน ผ่านระบบคลื่นไมโครเวฟไม่สามารถสังเกตเห็นการเปลี่ยนแปลงในช่วงปฏิกิริยาขึ้นเรื่มต้น เนื่องจากที่ระบบไมโครเวฟวัสดุเกิดการดูดกลืนกันในโครงสร้างแล้ว เกิดกระบวนการโพลาไรเซชัน ทำให้เกิดการซึมกันและเสียดสีกันระหว่างโมเลกุลภายในเมตริกซ์ โดยการซึมกันและการเสียดสีเกิดขึ้นทั่วทั้งเนื้อวัสดุ ทำให้เกิดความร้อนขึ้นอย่างรวดเร็วและตลอดทั่วทั้งเนื้อวัสดุ (volumetric heating) โดยความร้อนที่กล่าวมานี้เป็นการเร่งให้เกิดการแตกตัวของรีแอคทีฟไฮเดรชัน (Bogdal, 1998)

ภาพที่ 2 แสดงความสัมพันธ์ของเปอร์เซ็นต์การเชื่อมโดยสายโซ่ ณ เวลาต่างๆ ของโพลีอีสเทอร์เรซินชนิดไม่อ่อนตัวที่มีการเติมชิลิกา ที่เกิดจากการเชื่อมโดยสายโซ่ ด้วยความร้อนปกติ (2a) และคลื่นไมโครเวฟ (2b) จากผลการทดลอง พนว่า การเติมชิลิกามีผลต่อเปอร์เซ็นต์การเชื่อมโดยสายโซ่ที่เหมือนกับการเติมถ้าลอย เกิดจากสาเหตุเช่นเดียวกันกับถ้าลอย แต่ลักษณะที่แตกต่างกัน คือ ปริมาณชิลิกาที่เพิ่มขึ้นทำให้

ไม่สามารถเห็นการเปลี่ยนแปลงของกราฟในช่วงขั้นเริ่มต้น มีสาเหตุเพราจะมีการแพร่กระจายของรีแอคทีฟไฮเดรชันที่สูง และมีปัจจัยการซึมที่ดีมากในโพลีอีสเทอร์เรซินชนิดไม่อ่อนตัวที่มีชิลิกา เป็นผลเนื่องจากชิลิกามีขนาดเล็กมีพื้นที่ผิว (surface area) มากทำให้มีหมู่ไฮดรอกซิล (hydroxyl group : - OH) ที่ผิวน้ำจำนวนมาก (เกิดอันตรายระหว่างสารตัวเติมกับสารตัวเติมปริมาณมาก) (Thongsang et al., 2007)



(a)



(b)

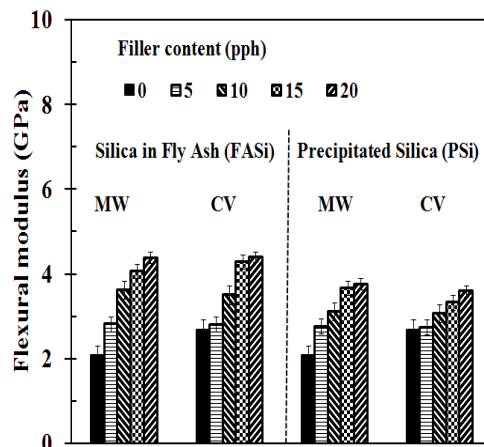
ภาพที่ 2 ความสัมพันธ์ระหว่างเปอร์เซ็นต์การเชื่อมโดยสายโซ่และเวลาในการให้ความร้อนของโพลีอีสเทอร์เรซินชนิดไม่อ่อนตัวที่มีการเติมชิลิกา (PSi) (a) ระบบความร้อนปกติ : CV (b) ระบบคลื่นไมโครเวฟ : MW

ตารางที่ 2 แสดงเวลาที่ใช้ในการเซื่อมโยงสายโซ่ และเบอร์เซ็นต์การเซื่อมโยงสายโซ่ของโพลิอสเตอร์เรซินชนิดไม่อิมตัว ที่มีการเติมถ้าลอยหรือซิลิกา ที่ผ่านระบบการเซื่อมโยงสายโซ่ด้วยความร้อนปกติ และระบบการเซื่อมโยงสายโซ่ด้วยคลื่นไมโครเวฟ เมื่อเปรียบเทียบระบบความร้อนปกติกับระบบคลื่นไมโครเวฟ สังเกตได้ว่า ที่ระบบคลื่นไมโครเวฟ โพลิอสเตอร์เรซินชนิดไม่อิมตัวที่ไม่มีการเติมถ้าลอยหรือซิลิกาใช้เวลาในการเซื่อมโยงสายโซ่มากกว่าระบบความร้อนปกติ แต่เมื่อปริมาณถ้าลอยหรือซิลิกาเพิ่มขึ้นส่งผลต่อการลดลงของเวลาในการเซื่อมโยงสายโซ่ได้มากกว่า เมื่อเทียบกับโพลิอสเตอร์เรซินชนิดไม่อิมตัวที่ไม่มีการเติมถ้าลอยหรือซิลิกานั้นคือ ระบบคลื่นไมโครเวฟเหมาะสมสำหรับใช้ในการเซื่อมโยงสายโซ่โพลิเมอร์ที่มีการเติมถ้าลอยหรือซิลิกาเป็นสารตัวเติม

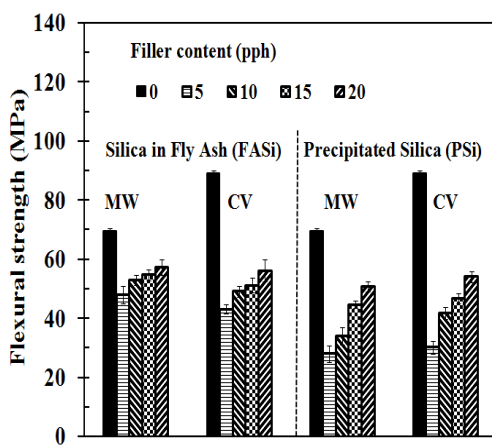
ตารางที่ 2 เวลาที่ใช้ในการเซื่อมโยงสายโซ่ และเบอร์เซ็นต์การเซื่อมโยงสายโซ่ของโพลิอสเตอร์เรซินชนิดไม่อิมตัว ที่มีการเติมถ้าลอย (FASi) และโพลิอสเตอร์เรซินชนิดไม่อิมตัวที่มีการเติมซิลิกา (PSi)

| Types of silica           | Content (pph) | Curing conditions         |                     |                        |                     |
|---------------------------|---------------|---------------------------|---------------------|------------------------|---------------------|
|                           |               | Conventional heating : CV |                     | Microwave heating : MW |                     |
|                           |               | Cure time (min)           | Percentage cure (%) | Cure time (min)        | Percentage cure (%) |
| Silica in Fly Ash (FASi)  | 0             | 12                        | 96.24               | 16                     | 97.18               |
|                           | 5             | 10                        | 95.63               | 14                     | 96.61               |
|                           | 10            | 10                        | 95.84               | 12                     | 96.86               |
|                           | 15            | 10                        | 96.82               | 10                     | 96.46               |
|                           | 20            | 8                         | 96.56               | 8                      | 98.53               |
| Precipitated Silica (PSi) | 0             | 12                        | 96.24               | 16                     | 97.18               |
|                           | 5             | 8                         | 96.66               | 12                     | 96.62               |
|                           | 10            | 8                         | 96.52               | 8                      | 97.55               |
|                           | 15            | 6                         | 95.49               | 6                      | 98.92               |
|                           | 20            | 4                         | 96.89               | 4                      | 96.72               |

ในภาพที่ 3 แสดงความสัมพันธ์ระหว่างมอคุลัสดัดงอกับปริมาณสารตัวเติม ที่สภาวะการให้ความร้อนในการเซื่อมโยงสายโซ่โพลิอสเตอร์เรซินชนิดไม่อิมตัวด้วยความร้อนปกติและคลื่นไมโครเวฟ จากการทดลองพบว่า เมื่อทำการเติมถ้าลอยหรือซิลิกา ส่งผลให้ค่ามอคุลัสดัดงอกับปริมาณสารตัวเติมเพิ่มขึ้น สาเหตุเนื่องจากการเติมถ้าลอยหรือซิลิกาที่มีค่ามอคุลัสสูงลงไปในโพลิอสเตอร์เรซินชนิดไม่อิมตัวที่มีมอคุลัสต่ำกว่าเจิงทำให้ค่ามอคุลัสของวัสดุเชิงปะกอบสูงขึ้น (ธนารัตน์, 2548)

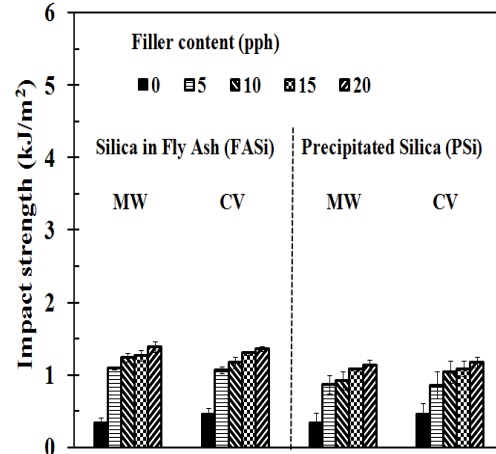


ภาพที่ 3 มอคุลัสดัดงอกับปริมาณสารตัวเติมในการเซื่อมโยงสายโซ่โพลิอสเตอร์เรซินชนิดไม่อิมตัวด้วยคลื่นไมโครเวฟ (MW) และความร้อนปกติ (CV)

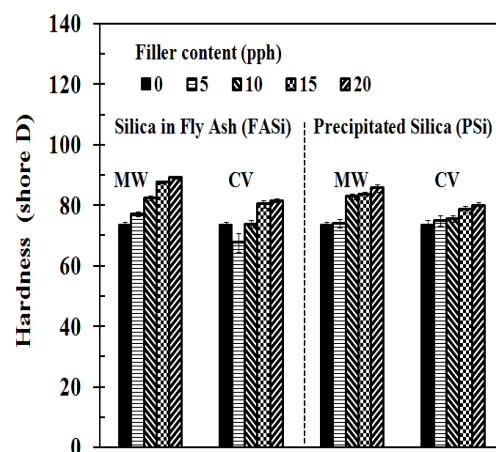


ภาพที่ 4 ความทนทานการ โถ้งงอกับปริมาณสารตัวเติม ในการเชื่อมโยงสายโซ่โพลีอสเตอร์เรซินชนิดไม่อ่อนตัวด้วยคลื่นไมโครเวฟ (MW) และความร้อนปกติ (CV)

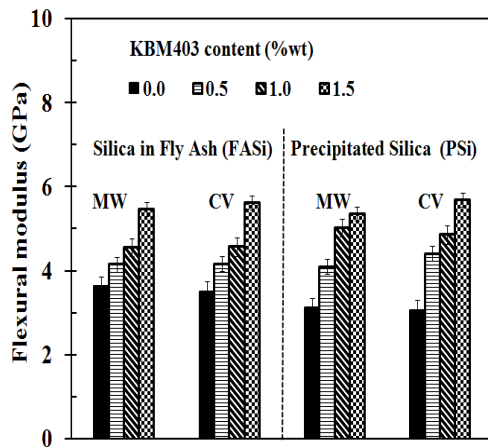
จากภาพที่ 4 แสดงความสัมพันธ์ระหว่างความทนทานการ โถ้งงอกับปริมาณเดือยหรือซิลิกา ที่ผ่านการเชื่อมโยงสายโซ่ ด้วยคลื่นไมโครเวฟและความร้อนปกติ พบว่า เมื่อเติมทึ้งเดือยหรือซิลิกาค่าความทนทานการ โถ้งงอกมีค่าลดลงเมื่อเทียบกับโพลีอสเตอร์เรซินชนิดไม่อ่อนตัวที่ไม่เติมเดือยหรือซิลิกา แต่มีปริมาณเดือยมากขึ้น พบว่าค่าความทนทานการ โถ้งงอกมีค่าใกล้เคียงกัน เมื่อพิจารณาปริมาณซิลิกาที่เพิ่มขึ้นค่าความทนทานการ โถ้งงอกมีแนวโน้มสูงขึ้นเล็กน้อย ซึ่งสอดคล้องกับงานวิจัยของ Paramjit et al. (2006) พบว่า โพลีอสเตอร์เรซินชนิดไม่อ่อนตัวที่มีการเติมซิลิกามีความทนทานการ โถ้งงอกเพิ่มขึ้นเมื่อปริมาณซิลิกาเพิ่มขึ้น เพราะว่าซิลิกาเกิดการยึดติดทางเคมี (chemical absorption) ที่ผิวน้ำกับเมตริกซ์ได้ จึงเป็นการปรับปรุงความทนทานการ โถ้งงอกของโพลีอสเตอร์เรซินชนิดไม่อ่อนตัวให้มีค่ามากขึ้น โดยมีค่าความทนทานต่อการกระแทกและค่าความแข็งมีแนวโน้มการเปลี่ยนแปลงที่คล้ายคลึงกันดังแสดงในภาพที่ 5 และ 6



ภาพที่ 5 ความทนทานต่อการกระแทกกับปริมาณสารตัวเติม ในการเชื่อมโยงสายโซ่โพลีอสเตอร์เรซินชนิดไม่อ่อนตัวด้วยคลื่นไมโครเวฟ (MW) และความร้อนปกติ (CV)

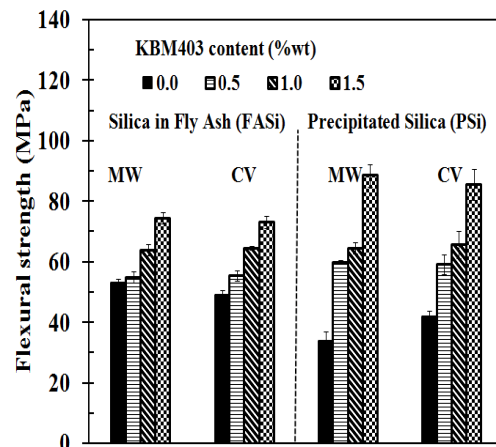


ภาพที่ 6 ความแข็งกับปริมาณสารตัวเติมในการเชื่อมโยงสายโซ่โพลีอสเตอร์เรซินชนิดไม่อ่อนตัวด้วยคลื่นไมโครเวฟ (MW) และความร้อนปกติ (CV)



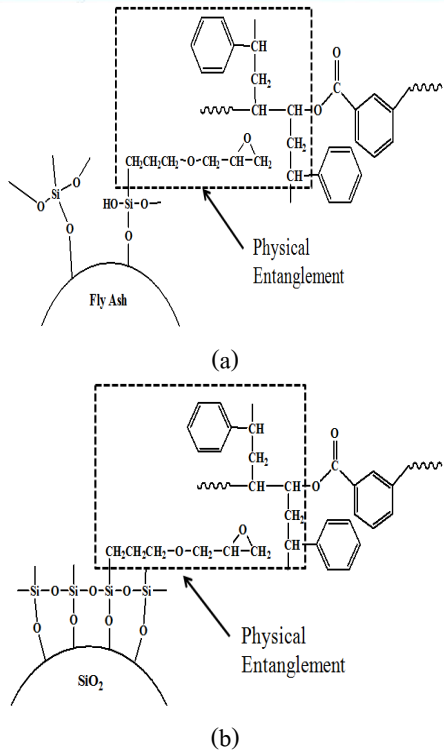
ภาพที่ 7 ผลอุดลักษณะคงอันกับความเข้มข้น KBM403 ที่ใช้ปรับปรุงผิวของถ้าล้อยหรือซิลิกาในการ เชื่อมโงยงสายโซ่โพลีเอสเตอร์เรซิน ด้วยคลื่นไมโครเวฟ (MW) และความร้อนปกติ (CV) ของวัสดุเชิงประกอบ

จากภาพที่ 7 แสดงผลของการปรับปรุงของถ้าล้อยหรือซิลิกาโดยใช้ KBM403 ที่ความเข้มข้นต่างๆ ต่อค่าอุดลักษณะคงอโดยใช้ปริมาณถ้าล้อยหรือซิลิกาที่ 10 ส่วนมาทำการปรับปรุงผิว จากผลการทดลอง พบว่าการเติม KBM403 ทำให้ค่าอุดลักษณะคงอีกสูงขึ้นประมาณ 75% เมื่อทำการเปรียบเทียบค่าอุดลักษณะคงอีกที่ไม่มีการปรับปรุงผิว โดยค่าอุดลักษณะคงอีกเพิ่มขึ้นตามความเข้มข้นของ KBM403 ที่เพิ่มขึ้น

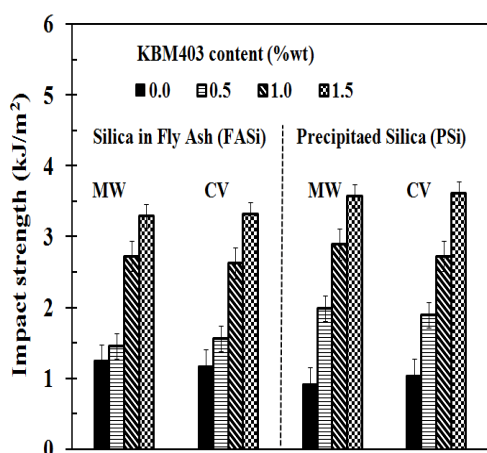


ภาพที่ 8 ความทนทานการโถ้งกับความเข้มข้น KBM 403 ที่ใช้ในการปรับปรุงผิวถ้าล้อยหรือซิลิกา ที่ระบบคลื่นไมโครเวฟ (MW) และความร้อนปกติ (CV)

จากภาพที่ 8 แสดงผลของการปรับปรุงผิวถ้าล้อยหรือซิลิกาที่ถูกปรับปรุงด้วย KBM403 ที่ความเข้มข้นต่างๆ ต่อค่าความทนทานการโถ้งของระบบคลื่นไมโครเวฟ และความร้อนปกติของวัสดุเชิงประกอบจากผลการทดลองพบว่า ความทนทานการโถ้งมีแนวโน้มที่สูงขึ้นตามความเข้มข้นของ KBM403 โดยโพลีเอสเตอร์เรซินชนิดไม่อิ่มตัวที่มีการเติมถ้าล้อย และโพลีเอสเตอร์เรซินชนิดไม่อิ่มตัวที่มีการเติมซิลิกามีแนวโน้มการเพิ่มขึ้นของความทนทานการโถ้งอีกเล็กน้อย และการเพิ่มขึ้นของความทนทานการโถ้งจะพิจารณาได้ในภาพที่ 9 โดยแสดงกลไกการเสริมแรงและพันธะที่ผิวน้ำระหว่างถ้าล้อย (9a) หรือซิลิกา (9b) กับโพลีเอสเตอร์เรซินชนิดไม่อิ่มตัว โดยพันธะที่ผิวน้ำเกิดขึ้นจากการเกี่ยวพันเชิงกลของโมเลกุลระหว่างหมู่อัลกิลบน KBM403 ที่ปรับปรุงผิวน้ำของถ้าล้อยหรือซิลิกากับโพลีเอสเตอร์เรซินชนิดไม่อิ่มตัว

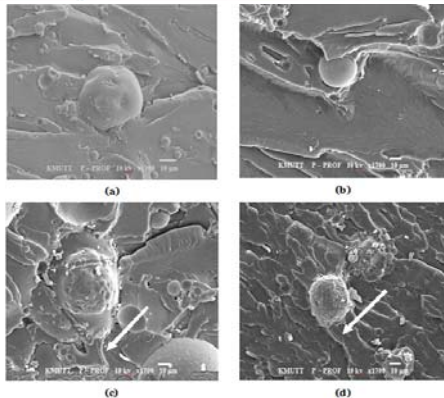


ภาพที่ 9 กลไกการเก็บพันธ์ของโมเลกุลระหว่างหัวน้ำ KBM403 กับโพลีอสเทอร์เรซินชนิดไม่อมตัว (a) เถ้าโลย (b) ซิลิกา

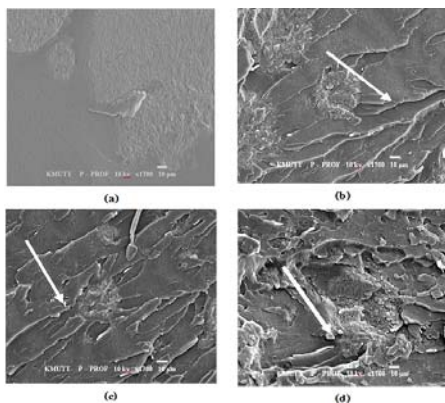


ภาพที่ 10 ความทนทานต่อการกระแทกกับความเข้มข้น KBM 403 ที่ใช้ในการปรับปรุงผิวถ้าโลยหรือซิลิกา ที่ระบบคลื่นไมโครเวฟ (MW) และความร้อนปกติ (CV)

จากภาพที่ 10 แสดงผลของการปรับปรุงผิวถ้าโลยหรือซิลิกา โดยใช้ KBM403 ที่ความเข้มข้นต่างๆ ต่อค่าความทนทานต่อการกระแทกพบว่า ความทนทานต่อการกระแทกมีแนวโน้มที่สูงขึ้นตามความเข้มข้นของ KBM403 ที่เพิ่มขึ้น แบบเดียวกับค่าความทนทานการโค้งงอ เนื่องจากเกิดอันตรกิริยา (interaction) ของถ้าโลยกับเมตริกซ์ ดังที่กล่าวมาแล้วดังแสดงในภาพที่ 9 ซึ่งสอดคล้องกับในภาพที่ 11 แสดงโครงสร้างจุลภาคของการแตกหักชิ้นงานโพลีอสเทอร์เรซินชนิดไม่อมตัว ที่มีการเติมถ้าโลยที่ผ่านการปรับปรุงผิวด้วย KBM403 ที่ความเข้มข้นต่างๆ และผ่านการทดสอบความทนทานต่อการกระแทกพบว่า ที่ร่องอนุภาคถ้าโลย มีเส้นการยืดตัว (elongated ductile-fractured lines) (ตามลูกศรชี้ดังภาพที่ 11 (c), (d)) ซึ่งแสดงให้เห็นว่า แรงที่มากระทำส่วนหนึ่งถูกแบ่งไปที่รอยต่อระหว่างเฟสของถ้าโลย และโพลีอสเทอร์เรซิน ทำให้วัสดุเชิงประจักษ์ที่มีเติมถ้าโลยที่ถูกปรับปรุงผิว มีการรับ – ส่งผ่านแรงที่มากกว่าวัสดุเชิงประจักษ์ที่เติมถ้าโลยที่ไม่มีการปรับปรุงผิว (ชนวนรม, 2548) โดยในภาพที่ 12 แสดงโครงสร้างจุลภาคของการแตกหักชิ้นงานโพลีอสเทอร์เรซินชนิดไม่อมตัว ที่มีการเติมซิลิกาที่ผ่านการปรับปรุงผิวด้วย KBM403 ที่ความเข้มข้นต่างๆ ซึ่งให้ผลการทดลองที่สอดคล้องที่สอดคล้องกัน



**ภาพที่ 11** โครงสร้างจุลภาคของการแตกหักขึ้นงานที่ผ่านการทดสอบความทนทานต่อการกราฟฟิกของวัสดุเชิงปะกอบโพลีเอสเตอร์เรซินกับถ้าลอยที่ปริมาณถ้าลอย 10 pph ที่ผ่านการเชื่อมโดยไฟฟ้าโซลาร์เซลล์ 0.0, 0.5, 1.0, 1.5% โดยหน้าแนกของถ้าลอย (กำลังขยาย 1700 เท่า)



**ภาพที่ 12** โครงสร้างจุลภาคของการแตกหักขึ้นงานที่ผ่านการทดสอบความทนทานต่อการกราฟฟิกของวัสดุเชิงปะกอบโพลีเอสเตอร์เรซินกับชิลิกาที่ปริมาณชิลิกา 10 pph ที่ผ่านการเชื่อมโดยไฟฟ้าโซลาร์เซลล์ 0.0, 0.5, 1.0, 1.5% โดยหน้าแนกของชิลิกา (กำลังขยาย 1700 เท่า)

### สรุปผลการทดลอง

การศึกษาถึงสมบัติของโพลีเอสเตอร์เรซินชนิดไม่อมตัวที่มีการเติมถ้าลอยหรือชิลิกาที่ผ่านการเชื่อมโดยไฟฟ้าโซลาร์เซลล์ 0.0, 0.5, 1.0, 1.5% ได้รับผลการทดสอบที่ดีกว่าในส่วนของความคงทนต่อการกราฟฟิกของวัสดุเชิงปะกอบ โพลีเอสเตอร์เรซินชนิดไม่อมตัว จากการทดลองพบว่า การเติมถ้าลอยหรือชิลิกาลงไปเปอร์เซ็นต์การเชื่อมโดยไฟฟ้าโซลาร์เซลล์เพิ่มสูงขึ้น โดยความแตกต่างของการเติมถ้าลอยหรือชิลิกานี้เนื่องจากจำนวนหมู่ไฮดรอกซิลที่ผิวน้ำค่ามอูลัสสัดดังองค์ความทนทานต่อการกราฟฟิก และค่าความแข็งมีค่าเพิ่มขึ้นตามปริมาณถ้าลอยหรือชิลิกาที่เพิ่มขึ้น ในขณะที่ค่าความทนทานการโค้งงอลดลงเมื่อมีการเติมถ้าลอยหรือชิลิกา แต่เมื่อปริมาณถ้าลอยหรือชิลิกาเพิ่มขึ้น ค่าความทนทานการโค้งงามมีค่าใกล้เคียงกัน โดยที่สมบัติเชิงกลของวัสดุเชิงปะกอบ โพลีเอสเตอร์เรซินชนิดไม่อมตัวกับถ้าลอยหรือชิลิกามีค่าสูงขึ้น เมื่อทำการปรับปรุงพิวเต้ลอยหรือชิลิกาด้วย KBM403

### กิตติกรรมประกาศ

ขอขอบคุณทุนพัฒนาศักยภาพในการทำงานวิจัยของอาจารย์รุ่นใหม่สำนักงานคณะกรรมการการอุดมศึกษา (สกอ.) และสำนักงานกองทุนสนับสนุนการวิจัย(สกสว.) โดยมีสัญญาเลขที่ MRG5080384 ที่สนับสนุนเงินทุนในการดำเนินงานวิจัย

เอกสารอ้างอิง

ดาวเดือน อาจองค์. 2546. “วัสดุจากคลื่นไมโครเวฟ”,  
วารสารศูนย์เทคโนโลยีโลหะและวัสดุแห่ง<sup>ชาติ</sup> – เทคโนโลยีวัสดุ. มกราคม – มีนาคม.  
หน้า 13-17.

ธนวรรณ เชราวสกุ. 2548. การศึกษาสมบัติของวัสดุเชิง<sup>ประภณบดีพอกซีกับเหล็กอยเป็นสารตัวเติมที่  
ผ่านการเข้มข้นโดยใช้ดั่งคลื่นไมโครเวฟ.  
วิทยานิพนธ์ปริญญาวิศวกรรมศาสตร  
มหาบัณฑิต สาขาวิชาเทคโนโลยีวัสดุ คณะ  
พลังงานสิ่งแวดล้อมและวัสดุ มหาวิทยาลัย  
เทคโนโลยีพระจอมเกล้าชัชนาท.</sup>

Zhou, S. and Hawley, C. M. 2003. A study of microwave  
reaction rate enhancement effect in adhesive  
bonding of polymers and composites. Compos.  
Struct. 61(4): 303-309.

Thongsang, S. and Sombatsompop, N. 2007.  
Reinforcement of natural rubber with fly ash  
from different local sources. Suranaree J. Sci.  
Technol. 14(1): 77-89.

Margit, H., zsef Karger-Kocsis, J. and Marco, H. 2007.  
Influence of fillers and additives on the cure  
kinetics of an epoxy/anhydride resin. Eur.  
Polym. J. 43(4): 1168–1178.

Dariusz Bogdal. 1998. Microwave-assisted organic  
synthesis : one hundred reaction procedures.

Tetrahedron Organic Chemistry Series, 25:  
13-21.

Rahmat, A.R., Heatley, F. and Day, R. J. 2003.  
Comparison of microwave and thermal cure of  
unsaturated polyester resin. Plast. Rubb.  
Compos. 32(6): 257-264.

Thongsang, S. and Sombatsompop, N. 2007. Dynamic  
rebound properties of NR compounds filled  
with fly ash particles and precipitated silica. J.  
Macromol. Sci. Part B: Physics. 46(4):  
825-840.

Paramjit, S., Anupama, K. and Kirandeep. 2006.  
Mechanical and transport properties of  
colloidal silica-unsaturated polyester  
composites. J. Reinf. Plast. Compos. 25(2):  
119 – 140.